

## حالیت دی اکسید کربن در مایع یونی ۱-بوتیل-۳-متیل ایمیدازولیم نیترات در فشار بالا

مجتبی میرزائی<sup>۱\*</sup>، فائزه عظیمی<sup>۲</sup>، بابک مختارانی<sup>۳</sup> و علی شریفی<sup>۴</sup>

۱. استادیار شیمی کاربردی، پژوهشکده فناوری های نوین، پژوهشگاه شیمی و مهندسی شیمی ایران، تهران، ایران.
۲. دانشجوی کارشناسی ارشد مهندسی شیمی، پژوهشکده مهندسی نفت، پژوهشگاه شیمی و مهندسی شیمی ایران، تهران، ایران.
۳. استاد مهندسی شیمی، پژوهشکده مهندسی نفت، پژوهشگاه شیمی و مهندسی شیمی ایران، تهران، ایران.
۴. دانشیار شیمی آلبی، پژوهشکده فناوری های نوین، پژوهشگاه شیمی و مهندسی شیمی ایران، تهران، ایران.

دریافت: بهمن ۱۴۰۱ بازنگری: خرداد ۱۴۰۲ پذیرش: تیر ۱۴۰۲



10.30495/JACR.2023.1978683.2092

### چکیده

داده های تجربی حالیت  $\text{CO}_2$  در مایع یونی ۱-بوتیل-۳-متیل ایمیدازولیم نیترات  $[\text{Bmim}][\text{NO}_3]$  در گستره دمایی ۲۵ تا ۶۰ درجه سلسیوس و فشار تا ۴۶۰ مکاپاسکال به دست آمد. فرایند جذب در یک واکنشگاه ناپوسته دو جداره از جنس فولاد زنگنزن با قابلیت عملیاتی تحمل فشار تا ۱۰ مکاپاسکال مجهز به همزن مکانیکی، حسگرهای فشار و دما، مطالعه شد. با شروع فرایند بر جذب گاز  $\text{CO}_2$ ، فشار داخل واکنشگاه شروع به افت کرد. نقطه تعادل زمانی انتخاب شد که طی ۱۵ دقیقه کاهش فشاری مشاهده نمی شد. یافته ها نشان داد با افزایش فشار و کاهش دما، حالیت  $\text{CO}_2$  در مایع یونی  $[\text{Bmim}][\text{NO}_3]$  افزایش یافت. با وارد کردن نقاط تعادلی به دست آمده از آزمایش ها در معادله حالت اسپن-واگنر، حجم مولی و فوگاسیته محاسبه شد که برای به دست آوردن ثابت های قانون هنری در فشار صفر  $\text{CO}_2$  ( $K_{\text{H}, \text{CO}_2}$ ) در مایع یونی  $[\text{Bmim}][\text{NO}_3]$  به کار گرفته شدند.

**واژه های کلیدی:** بر جذب کربن دی اکسید، مایع یونی بر پایه ایمیدازولیم، ثابت قانون هنری.

### مقدمه

ppm رسیده است [۱]. بر پایه آمار سال ۲۰۲۲ کربن

دی اکسید با سهم بالغ بر ۶۵ درصد به عنوان اصلی ترین عامل پدیده گلخانه ای شناخته شد که در آن نیروگاه ها ۳۹,۳۰٪ درصد، صنعت ۲۸,۹۰٪ درصد، حمل و نقل ۲۱,۹۰٪ درصد و بخش خانگی ۹,۹۰٪ درصد در تولید کربن دی اکسید سهم داشتند [۲]. حذف گاز کربن دی اکسید نه تنها از دید زیست محیطی بلکه در صنعت

افزایش غلظت کربن دی اکسید در اتمسفر و ارتباط آن با اثرات گلخانه ای بحث های زیادی را در سراسر جهان در راستای کاهش انتشار آن و سایر گازهای گلخانه ای ایجاد کرده است. انتشار کربن دی اکسید از زمان انقلاب صنعتی آغاز شد به طوری که امروزه غلظت آن از ۲۸۰ ppm پیش از انقلاب صنعتی به

[۱۰]. استفاده از مایع‌های یونی به عنوان یک حلال جایگزین در سال‌های اخیر موردنوجه پژوهشگران قرار گرفته است. مایع‌های یونی نمک‌های مذابی هستند که نقاط ذوب نزدیک و یا کمتر از دمای اتاق دارند. یکی از مهم‌ترین دلایلی که موجب توجه به مایع‌های یونی شده است، فشار بخار ناچیز و در نتیجه غیرفراربودن آن‌ها است. این ویژگی مهم و همچنین، قابلیت حل کردن بسیاری از مواد آلی، غیرآلی، قطبی و غیرقطبی موجب شده که مایع‌های یونی به عنوان یک حلال پاک برای استفاده در فرایندهای جداسازی مانند فرایند شیرین‌سازی گاز طبیعی، استفاده شوند. پژوهش‌های انجام‌شده نشان می‌دهند که حالیت کربن دی اکسید در مایع‌های یونی چمشگیر است. از طرف دیگر مایع‌های یونی می‌توانند معایب استفاده از حلال‌های آلی فرار را از بین برند، به این ترتیب که مایع‌های یونی به دلیل غیرفراربودن وارد جریان گاز یا هوای اطراف نمی‌شوند، در نتیجه در طول عملیات، مایع یونی به هدر نرفته و موجب آسودگی جریان گاز و محیط زیست نمی‌شود. همچنین، بازیافت مایع یونی و جداسازی گازهای جذب شده از آن نیز به راحتی و با یک عملیات تقطیر یا تبخیر ساده انجام می‌پذیرد [۱۱ تا ۱۳]. برای استفاده از مایع‌های یونی به عنوان حلال در فرایندهای جداسازی گاز می‌باشد رفتار فازی سامانه کربن دی اکسید-مایع یونی را مطالعه کرد.

با توجه به توضیحات ارائه شده در راستای کارهای پیشین [۱۴ تا ۱۶]، در این پژوهش، رفتار فازی کربن دی اکسید-مایع یونی در شرایط دمایی و فشاری بالا برای اندازه‌گیری مقدار حالیت گاز کربن دی اکسید در مایع یونی ۱-بوتیل-۳-متیل-ایمیدا زولیم نیترات ( $\text{[Bmim][NO}_3\text{]}$ ) بررسی شد.

### بخش تجربی

#### مواد شیمیایی

مایع یونی  $\text{[Bmim][NO}_3\text{]}$  در آزمایشگاه پژوهشی سنتر و کاربرد مایع‌های یونی پژوهشگاه شیمی و مهندسی شیمی

نیز در فرایندهایی مانند تولید آمونیاک، تولید هیدروژن و شیرین‌سازی گاز طبیعی اهمیت زیادی دارد [۳]. از طرفی گاز طبیعی یکی از حامل‌های مهم انرژی است که ۹۰ تا ۶۰ درصد آن را مтан تشکیل می‌دهد [۴]. کربن دی اکسید یکی از اجزای هیدروکربنی است که نقش مهمی در تعیین کیفیت و قیمت گاز طبیعی دارد. وجود کربن دی اکسید ارزش گرمایی گاز طبیعی را پایین آورده و نه تنها موجب ترششدن آن می‌شود بلکه خوردگی خطوط لوله و تجهیزات به کاررفته در فراوری گاز طبیعی را نیز موجب می‌شود [۵]. کربن دی اکسید به طور گسترده‌ای به عنوان یک ماده خام شیمیایی در بسیاری از زمینه‌ها از جمله صنایع پتروشیمی، صنایع غذایی و در مصالح ساختمانی به کار می‌رود. از این رو حذف و ذخیره سازی آن از گازهای به دست آمده از احتراق و همچنین، گاز طبیعی لازم به نظر می‌رسد [۶].

روش‌های متفاوتی برای جذب و جداسازی کربن دی اکسید وجود دارد که برای مثال، می‌توان به فناوری غشایی، غربال مولکولی، جذب سطحی، جذب فیزیکی و شیمیایی با محلول‌های جاذب اشاره کرد [۷ و ۸]. محلول‌های جاذب به دو گروه حلال‌های فیزیکی و شیمیایی تقسیم‌بندی می‌شوند. حلال‌های شیمیایی به راحتی می‌توانند غلظت گازهای اسیدی را تا سطح بسیار پایین کاهش دهند. امروزه در میان فناوری‌های گوناگون جذب کربن دی اکسید، از جذب شیمیایی با محلول‌های آبی آمین دار استفاده می‌شود. شرایط عملیاتی پایدار، واکنش مناسب، ظرفیت بالای جذب و قیمت ارزان‌تر از مزایای این روش است. اما کاربرد این حلال‌های آلی معمایی را نیز دربردارد که برای مثال، می‌توان به پایداری گرمایی پایین، نگهداری پیوسته تجهیزات به دلیل خوردگی بالا، انتقال آب به جریان گاز طی مرحله دفع گاز، تخریب آمین به علت خوردگی ایجاد شده با فراوردها و فراریت بالا که موجب اتلاف مقداری از حلال و ورود آن به جریان گاز یا هوای اطراف می‌شود و نیز انرژی زیادی که برای احیای حلال لازم است، اشاره کرد [۹ و

اندازه‌گیری شد. برای اندازه‌گیری ظرفیت جذب گاز، واکنشگاه Reaction R-201 ساخت شرکت کره‌ای Engineering به کار گرفته شد (شکل ۱). جنس همه اجزا از فولاد پادزنگ شماره ۳۱۶ ال (316 L) بود. این واکنشگاه دارای یک همنز با دور قابل تنظیم، شیر ورودی و خروجی گاز، شیر اتصال به پمپ خلا، و شیر تخلیه مایع از قسمت تحتانی است که بر آن یک حسگر فشار Keller-X33 نصب شده بود. گستره کار کرد این حسگر از صفر تا ۴ مگاپاسکال و دقت اندازه‌گیری آن ۱ درصد مقیاس کل خروجی بود. نمودار تغییرهای فشار بر حسب زمان به کمک نرمافزار ویژه‌ای بر رایانه قابل مشاهده بود. برای تنظیم دمای حمام، گردنده ۲ FP50 مدل Julabo به کار گرفته شد. این گردنده محضر به یک حسگر بسیار دقیق دمایی Pt-100 است که دما را با دقت  $\pm 0.01$  درجه سلسیوس تنظیم می‌کند. برای خارج کردن هوای داخل واکنشگاه و ایجاد خلا در آن، پمپ خلا E2M2 مدل ۲ به کار گرفته شد.



شکل ۱ واکنشگاه استفاده شده در این پژوهش

ایران با خلوص ۹۸ درصد سنتز شده بود. واکنشگرهای شیمیایی، حلال‌های آلی و گاز کربن دی‌اکسید از شرکت‌های تجاری مندرج در جدول ۱ تهیه و بدون خالص‌سازی بیشتر استفاده شدند.

جدول ۱ گازها و مواد شیمیایی مورد استفاده در این پژوهش

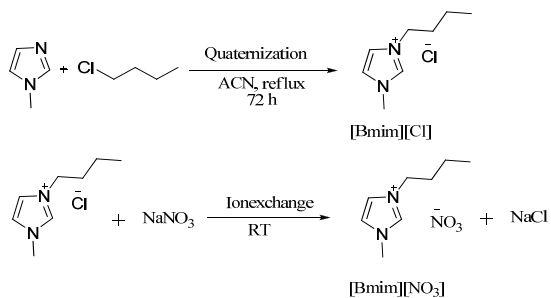
نام	فرمول	درصد خلوص	شرکت فروشنده	ماده شیمیایی
۱-متیل ایمیدازول	C <sub>4</sub> H <sub>6</sub> N <sub>2</sub>	۹۹	سیگما-آلریچ	
۱-کلرو بوتان	C <sub>4</sub> H <sub>9</sub> Cl	۹۸	سیگما-آلریچ	
نقره نیترات	AgNO <sub>3</sub>	۹۹	سیگما-آلریچ	
سدیم نیترات	NaNO <sub>3</sub>	۹۹	فلوکا	
فسفر پنتاکسید	P <sub>2</sub> O <sub>5</sub>	۹۹	مرک	
استونیتریل	CH <sub>3</sub> CN	۹۹	مرک	
اتیل استات	CH <sub>3</sub> COOC <sub>2</sub> H <sub>5</sub>	۹۹	فلوکا	
دی‌اتیل اتر	C <sub>2</sub> H <sub>5</sub> OC <sub>2</sub> H <sub>5</sub>	۹۸	مرک	
کربن دی‌اکسید	CO <sub>2</sub>	۹۹.۹۵	رهام گاز	
آرگون	Ar	۹۹.۹۵	رهام گاز	

#### دستگاه‌ها

شناسایی مایع‌های یونی سنتز شده با طیف‌سنج <sup>1</sup>HNMR مدل Bruker Advance spectrometer, 500 MHz در D<sub>2</sub>O در دمای ۲۵ درجه سلسیوس انجام شد. جگالی مایع‌های یونی هم با چگالی‌سنج مدل Anton Paar DEM-5000 با دقت  $0.00001 \pm$  گرم بر میلی‌لیتر اندازه‌گیری شد. مقدار آب موجود در مایع یونی با دستگاه کارل-فیشر مدل KF-Coulometer 831 اندازه‌گیری شد. مقدار کل یون کلرید [Cl<sup>-</sup>] موجود در مایع یونی هم به روش پتانسیومتری با یک الکترود Philips حساس به یون کلرید متصل به یک pH متر مدل PW 9420 محاسبه شد. مقدار رطوبت موجود در جریان‌های گازی با حسگر جذب رطوبت مدل VAISALA HMP63

1. Nuclear Magnetic Resonance

2. Circulator



شکل ۳ طرحواره سنتز مایع‌های یونی [Bmim][NO<sub>3</sub>]

چگالی مایع یونی سنتز شده در دماهای متفاوت در جدول ۲ ارائه شده‌اند.

جدول ۲ چگالی مایع یونی سنتز شده در دماهای متفاوت [Bmim][NO<sub>3</sub>]

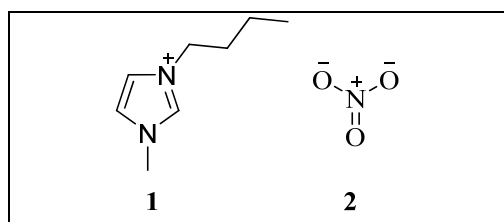
چگالی (g/cm <sup>3</sup> )	دما (°C)
۱.۱۵۷۹۸	۲۰
۱.۱۵۴۷۷	۲۵
۱.۱۵۱۶۵	۳۰
۱.۱۴۷۴۷	۴۰
۱.۱۳۸۰۰	۵۰
۱.۱۳۲۰۰	۶۰
۱.۱۲۷۰۷	۷۰

در جدول ۳ داده‌های طیفی <sup>1</sup>HNMR، مقدار آب و یون کلرید موجود در مایع یونی سنتز شده آورده شده‌اند.

جدول ۳ داده‌های طیفی <sup>1</sup>HNMR، مقدار آب و یون کلرید موجود در مایع یونی [Bmim][NO<sub>3</sub>]

<sup>1</sup> H NMR (500 MHz)	[H <sub>2</sub> O] (ppm)	[Cl] (ppm)
(D <sub>2</sub> O): δ (ppm) 8.71 (1H, s), 7.48 (1H, J = 1.7 Hz, t), 7.43 (1H, J = 1.7 Hz, t), 4.17 (2H, J = 7.2 Hz, t), 3.88 (3H, s), 1.83-1.77 (2H, m), 1.31-1.25 (2H, m), 0.86 (3H, J = 7.4 Hz, t).	۴۰۰	۱۸۰

سنتز و شناسایی مایع‌های یونی  
در شکل ۲ ساختار مولکولی مایع یونی [Bmim][NO<sub>3</sub>] نشان داده شده است.



شکل ۲ ساختار شیمیایی مایع‌های یونی استفاده شده: کاتیون ۱-بوتیل-۳-متیل ایمیدازولیم (1) و آئیون نیترات (2)

مایع یونی [Bmim][NO<sub>3</sub>] در دو مرحله سنتز شد (شکل ۳). در مرحله اول نمک ۱-بوتیل-۳-متیل ایمیدازولیم کلرید ([Bmim][Cl]) از برهم‌کش N-متیل ایمیدازول با ۱-کلروپوتان در حال بازروانی سنتز شد [۱۷]. در مرحله دوم بلورهای سفید به دست آمده در حلال مناسب با نمک سدیم نیترات تبادل آئیونی شد تا فراورده موردنظر با بازده مناسب به دست آید [۱۸]. عمدترین ناخالصی در مایع یونی [Bmim][NO<sub>3</sub>] یون کلرید [Cl]<sup>-</sup> ناشی از سدیم کلرید تولید شده و یا باقی‌مانده نمک اولیه [Bmim][Cl] بود که مقدار دقیق آن‌ها با روش تیترکردن پتانسیومتری با نقره نیترات مشخص شد. در صورت وجود [Cl]<sup>-</sup>، مایع یونی ناخالص در حلال دی‌کلرومتان حل و از ستون شیشه‌ای حاوی جاذب سیلیکا عبور داده می‌شد تا جایی که محلول خروجی از ستون با محلول نقره نیترات نمک نقره کلرید تشکیل ندهد. با اطمینان از خلوص فراورده، حلال با استفاده از تبخیر کن چرخان Rotary evaporator) حذف و به مدت ۳ ساعت در خلاً بالا در دمای ۷۰ درجه سلسیوس خشک شد. در پایان فراورده روغنی شکل زرد روشن با خلوص بالای ۹۸ درصد به دست آمد.

دو نکته پایه‌ای لازم است. به دلیل فشار بخار بسیار ناچیز مایع یونی، خالص فرض کردن فاز گاز و چشمپوشی از تغییرهای حجم مایع یونی در طی آزمایش که درنتیجه حجم مایع یونی ثابت فرض می‌شود. برای به دست آوردن مول گاز جذب شده به وسیله مایع یونی ( $n_{IL,CO_2}$ )، مقدار مول گاز جذب شده موجود در فاز گازی بالای مایع یونی ( $n_{g,CO_2}$ ) از مقدار کل گاز تزریق شده به واکنشگاه ( $n_{t,CO_2}$ ) کم شد تا مقدار  $n_{IL,CO_2}$  به دست آید (معادله ۱).

$$n_{IL,CO_2}(\text{mol}) = n_{t,CO_2} - n_{g,CO_2} \quad (1)$$

حجم فضای خالی بالای مایع یونی ( $V_g$ ) نیز از تفاوت حجم مایع یونی ( $V_{IL}$ ) و حجم کل واکنشگاه با معادله ۲ محاسبه شد. حجم مایع یونی نیز از تقسیم جرم مایع یونی داخل واکنشگاه به چگالی مایع یونی در دمای مردنظر به دست آمد.

$$V_g (\text{ml}) = 169.23 - V_{IL} = 169.23 - M_{IL}/\rho_{IL} \quad (2)$$

برای به دست آوردن مقدار گاز موجود در فاز گازی واکنشگاه ( $n_{g,CO_2}$ )، معادله حالت اسپن-واگنر تحت نرم افزار ThermoFluids برای هر دما و فشار تعادلی، مقدار حجم مولی گاز در فضای بالای مایع یونی ( $V_m$ ) و نیز مقدار فوگاسیته ( $f_{CO_2}$ ) به دست آمد. از تقسیم حجم فاز گازی واکنشگاه ( $V_g$ ) معادله ۳ بر حجم مولی ( $V_m$ )، تعداد مول‌های کربن دی‌اکسید جذب شده موجود در فاز گازی ( $n_{g,CO_2}$ ) و در نهایت با استفاده از معادله ۱ مقدار  $n_{IL,CO_2}$  به دست آمد.

$$n_{g,CO_2} = V_g/V_m \quad (3)$$

با استفاده از تعداد مول‌های  $CO_2$  حل شده در فاز مایع یونی ( $n_{IL,CO_2}$ ) و نیز جرم مایع یونی استفاده شده ( $M_{IL}$ ، مولالیته یا تعداد مول گاز حل شده در ۱۰۰۰ گرم مایع یونی ( $m_{CO_2}$   $\text{mol}\cdot\text{kg}^{-1}$ )) محاسبه شد (معادله ۴). کسر مولی  $CO_2$  در مایع یونی با معادله ۵ به دست آمد.

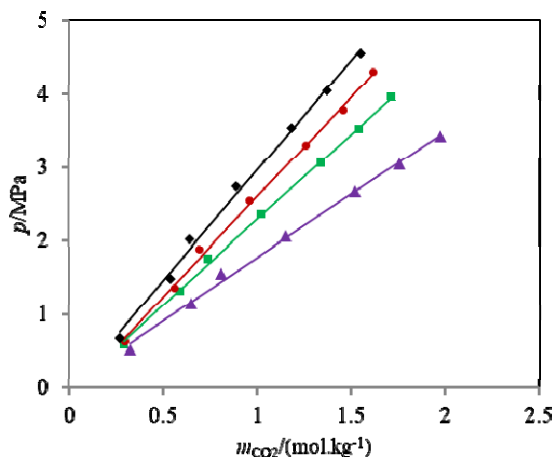
### روش آزمایش

سامانه به کاررفته در این پژوهش شبیه سامانه به کارگرفته شده در کار پیشین بود [۱۵]. عملکرد این سامانه بر مبنای روش افت فشار بود. پیش از شروع فرایند جذب، حجم کل واکنشگاه محاسبه شد. به همین منظور در ابتدا جداره داخلی واکنشگاه با استون شسته و درون حمام آبی قرار داده شد که دمای آن با سامانه گردش‌دهنده تنظیم می‌شد. حجم کل واکنشگاه نیز با انجام واسنجی با گاز آرگون تعیین شد. حجم کل به دست آمده  $169/۲۳$  میلی‌لیتر بود. در شروع آزمایش‌ها مقدار ۵۰ گرم از مایع یونی که به مدت ۴ ساعت تحت خالاً در دمای ۷۰ درجه سلسیوس گرم شده بود را با ترازوی دیجیتال kern با دقت  $0.001 \pm 0.001$  گرم وزن و به واکنشگاه تزریق شد. پس از ایجاد خالاً در واکنشگاه، شیر ورودی گاز به واکنشگاه را باز شد تا گاز از یک سیلندر حداست ۵۰۰ میلی‌لیتری که در دما و فشار معین قرار داشت به داخل راکتور تزریق شود. مقدار گاز تزریق شده به واکنشگاه با درنظرگرفتن مقدار کاهش فشار سیلندر میانی و با معادله حالت اسپن-واگنر<sup>۱</sup> [۱۶] محاسبه شد. پس از پایان تزریق گاز به واکنشگاه، همزمان با سرعت ۶۰۰ دور در دقیقه شروع به چرخش کرد و گاز تزریقی در داخل واکنشگاه در تماس مستقیم با محلول جاذب قرار گرفت و فرایند جذب آغاز شد. با شروع فرایند جذب، فشار داخل واکنشگاه کاهش یافت. نقطه تعادل زمانی به دست می‌آید که طی کمینه ۱۵ دقیقه کاهش فشاری مشاهده نشود. برای به دست آوردن نقاط جدید تعادلی و ادامه آن تا فشارهای بالاتر، مقدار معین دیگری از کربن دی‌اکسید به داخل سامانه تزریق و فرایند جذب تکرار شد. در نهایت داده‌های تعادلی در دمای ۲۵، ۴۰ و ۵۰ درجه سلسیوس و فشار بیشینه تا ۴۶۰ مکاپاسکال به دست آمد.

محاسبه مقدار گاز جذب شده به وسیله  $[Bmim][NO_3]$  برای انجام محاسبه‌های کمی به منظور به دست آوردن مقدار گاز جذب شده به وسیله مایع یونی  $[Bmim][NO_3]$ ، فرض

1. Span-Wagner Equation of State

بررسی نتیجه‌های حالیت  $\text{CO}_2$  در مایع یونی در شکل ۴ نشان می‌دهد که مقدار حالیت  $\text{CO}_2$  در  $[\text{Bmim}][\text{NO}_3]$  با افزایش فشار و کاهش دما افزایش می‌یابد. این روند کاهش حالیت  $\text{CO}_2$  به تقریب در بیشتر مایع‌های یونی به‌چشم می‌خورد.



شکل ۵ نمودار تغییر فشار کل بالای محلول  $\text{CO}_2 + \text{CO}_2 + \text{Bmim}[\text{NO}_3]$  بر حسب مولالیته  $\text{CO}_2$  در دمایهای ۲۰، ۲۵، ۴۰ و ۶۰ درجه سلسیوس (▲)، (●) و (◆) (■) درجه سلسیوس

#### ثابت قانون هنری

قانون هنری<sup>۱</sup> ارتباط و تأثیر فشار و دما را در حالیت گازها در مایع‌ها بررسی می‌کند. ازین‌رو، برای بررسی و مقایسه میزان حالیت گازها در مایعات از قانون هنری استفاده می‌شود. این قانون بیان می‌کند در یک دمای ثابت، جرم گاز حل شده در حجم معینی از یک مایع نسبت مستقیم با فشار جزئی آن گاز بر محلول به دست آمده دارد، به شرط اینکه گاز به نسبت کم محلول یا رقیق و با حل و اکشن شیمیایی نداشته باشد. بیان ترمودینامیکی بسطیافته قانون هنری در حالت تعادل با معادله ۶ نمایش داده می‌شود.

که در آن  $K_{\text{H,gas}}(T,P)$  ثابت هنری گاز در دمای  $T$  و فشار  $P$  در مقیاس مولالیته و  $a_{\text{gas}}(T,m_{\text{gas}})$  فعالیت در دما و

$$m_{\text{IL,CO}_2} = 1000 \times n_{\text{IL,CO}_2} / M_{\text{IL}} \text{ (mol CO}_2 \text{ kg}_{\text{IL}}^{-1}) \quad (4)$$

$$x_{\text{IL,CO}_2} = n_{\text{IL,CO}_2} / (n_{\text{IL,CO}_2} + n_{\text{IL}}) \quad (5)$$

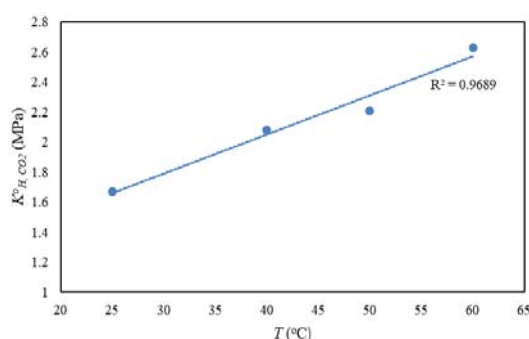
#### نتیجه‌ها و بحث

در جدول ۴ نتیجه‌های تجربی حالیت  $\text{CO}_2$  در مایع یونی  $[\text{Bmim}][\text{NO}_3]$  به نمایش در آمده است.

جدول ۴ نتیجه‌های تجربی حالیت  $\text{CO}_2$  در مایع یونی

$T$ (°C)	$P$ (MPa)	$m_{\text{CO}_2}$ (mol.kg⁻¹)	$f/m$ (MPa/(mol.kg⁻¹))	$x_{\text{CO}_2}$
25	0,۰۲۰	0,۳۲۵۲	1,۵۵۴۵	0,۰۶۱۴
	1,۱۴۷	0,۶۴۹۰	1,۷۱۸۶	0,۱۱۵۵
	1,۵۵۰	0,۸۰۴۹	1,۸۷۴۷	0,۱۳۹۴
	۲,۰۰۲	1,۱۵۰۸	1,۷۴۰۵	0,۱۸۸۰
	۲,۶۶۱	1,۵۱۹۷	1,۷۱۷۴	0,۲۳۴۲
	۳,۰۴۵	1,۷۵۸۹	1,۷۰۵۳	0,۲۶۱۴
	۳,۴۲۱	1,۹۶۸۶	1,۷۲۱۱	0,۲۸۳۷
40	0,۰۶۱	0,۲۹۰۲	۲,۰۱۲۷	0,۰۵۵۲
	۱,۳۱۰	0,۵۸۷۴	۲,۱۶۸۷	0,۱۰۵۷
	۱,۷۴۵	0,۷۳۴۳	۲,۳۱۳۵	0,۱۲۸۷
	۲,۳۶۱	1,۰۲۱۰	۲,۲۵۶۸	0,۱۷۰۴
	۳,۰۵۵	1,۳۳۹۲	۲,۲۳۶۴	0,۲۱۲۳
	۳,۵۱۸	1,۵۳۵۱	۲,۲۵۶۲	0,۲۳۶۰
	۳,۹۵۸	1,۷۰۹۹	۲,۲۹۰۴	0,۲۵۶۰
50	0,۰۴۰	0,۲۹۳۷	۲,۱۱۹۹	0,۰۵۵۸
	۱,۳۴۹	0,۵۵۹۴	۲,۳۴۷۱	0,۱۰۱۲
	۱,۸۷۹	0,۶۹۲۳	۲,۶۴۴۶	0,۱۲۲۳
	۲,۵۴۲	0,۹۶۱۶	۲,۵۸۲۰	0,۱۶۲۱
	۳,۲۹۳	۱,۲۵۸۸	۲,۵۶۵۸	0,۲۰۲۱
	۳,۷۸۲	1,۴۵۴۶	۲,۵۵۹۵	0,۲۲۶۴
	۴,۳۰۰	1,۶۱۲۰	۲,۶۳۹۰	0,۲۴۴۹
60	0,۰۶۸۰	0,۲۶۵۷	۲,۴۹۲۰	0,۰۵۰۷
	۱,۴۸۳	0,۵۳۵۰	۲,۷۰۱۰	0,۰۹۷۲
	۲,۰۱۱	0,۶۴۳۴	۳,۰۴۸	0,۱۱۴۶
	۲,۷۳۱	0,۸۸۸۲	۳,۰۰۵	0,۱۵۱۶
	۳,۵۳۵	1,۱۸۱۹	۲,۹۳۴	0,۱۹۲۱
	۴,۰۴۶	1,۳۷۴۲	۲,۸۹۸	0,۲۱۶۶
	۴,۵۴۹	1,۵۴۹۰	۲,۹۰۲	0,۲۳۷۶

1. Henry's law constant



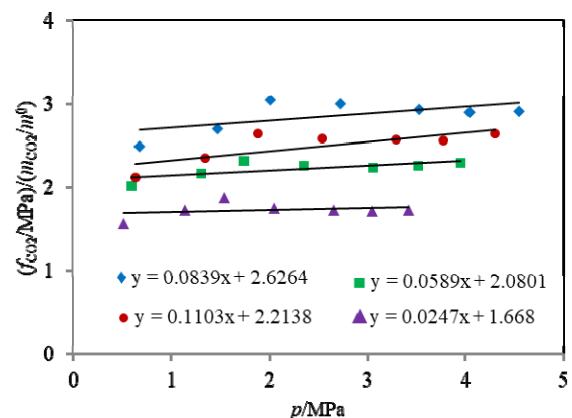
شکل ۶ تغییرهای ثابت‌های هنری (در فشار صفر و نسبت به مولالیته) بر حسب دما

یکی از بهترین روش‌ها برای مقایسه حلالیت گازهای متفاوت در یک جاذب، مقایسه ثابت‌های هنری آن‌ها در جاذب موردنظر است. برای مثال، در جدول ۵ ثابت‌های هنری گاز CO<sub>2</sub> در چند مایع یونی در دمای ۴۰ درجه سلسیوس آورده شده است. برپایه این جدول، مایع یونی [Bzmim][NTf<sub>2</sub>] دارای بیشترین مقدار ثابت هنری و کمترین ظرفیت جذب گاز CO<sub>2</sub> است. در شکل ۷ هم نمودار تغییر ظرفیت جذب CO<sub>2</sub> در چند مایع یونی بر حسب تغییر فشار مشاهده می‌شود. همان‌طوری که در جدول ۵ و شکل ۷ مشاهده می‌شود عملکرد مایع‌های یونی در جذب گاز CO<sub>2</sub> به عملکرد توامان آئیون و کاتیون بستگی دارد. برای مثال، زمانی که ظرفیت جذب گاز CO<sub>2</sub> چند مایع یونی دارای بخش کاتیونی مشابه و آئیون متفاوت مقایسه می‌شود، مایع‌های یونی دارای آئیون‌های فلوئوردار مانند بیس (تری‌فلوئورومتیل‌سولفونیل) ایمید ([NTf<sub>2</sub>]<sup>-</sup>)، هگزا‌فلوئوروفسفات [PF<sub>6</sub>]<sup>-</sup>، تترافلوئربورات [BF<sub>4</sub>]<sup>-</sup> ظرفیت جذب CO<sub>2</sub> بالاتری نسبت به مایع‌های یونی دارای آئیون‌های مانند نیترات [NO<sub>3</sub>]<sup>-</sup>، تیوسیانات [SCN]<sup>-</sup> دارند [۱]. مایع‌های یونی دارای بخش کاتیونی مشابه، مایع یونی دارای آئیون [NTf<sub>2</sub>]<sup>-</sup>، دارای ظرفیت جذب CO<sub>2</sub> بالاتری نسبت به مایع‌های یونی دارای آئیون‌های [PF<sub>6</sub>]<sup>-</sup> و [BF<sub>4</sub>]<sup>-</sup> است که این

فشار مشخص است که اثر فشار ناچیز انگاشته می‌شود.  $f_{\text{gas}}$  ( $T, P$ ) فوگاسیته گاز است که تابعی از دما و فشار است. مقدار ثابت هنری  $K^{\circ}_{\text{H},\text{CO}_2}$  در فشار صفر (در مقیاس مولالیته) از عامل‌های موثر بر ثابت هنری است که به طور مستقیم از آزمایش‌ها بدست می‌آید.  $m$  مولالیته و  $m^{\circ}$  ثابتی برابر ۱ است (معادله ۷).

$$K^{\circ}_{\text{H},\text{CO}_2}(T) = \lim_{P \rightarrow 0} \left( \frac{f(T, P)}{m/m^{\circ}} \right) \quad (7)$$

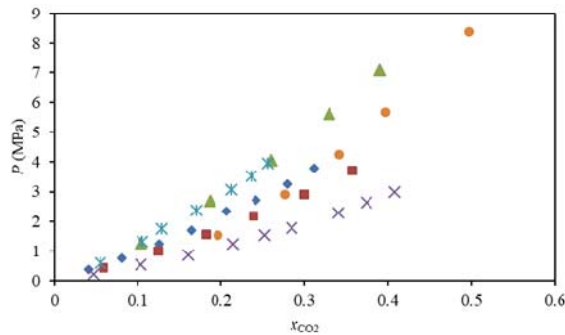
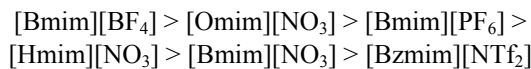
برای یافتن  $K^{\circ}_{\text{H},\text{CO}_2}$  نمودار تغییرهای مقدار  $f_{\text{CO}_2}/m_{\text{CO}_2}$  بر حسب فشار گاز CO<sub>2</sub> در دماهای متفاوت رسم شد (شکل ۵). نتیجه‌ها نشان داد یک واستگی خطی بین مقادیر  $f_{\text{CO}_2}/m_{\text{CO}_2}$  و فشار CO<sub>2</sub> بالای فاز مایع یونی وجود دارد. مقدار  $K^{\circ}_{\text{H},\text{CO}_2}(T)$  زمانی بدست می‌آید که فشار گاز CO<sub>2</sub> صفر باشد. به بیان دیگر، همان عرض از مبدا معادله‌های خط‌های مندرج در شکل ۵ است.



شکل ۵ تأثیر فشار کل به مقدار  $f_{\text{CO}_2}/m_{\text{CO}_2}$  در مایع یونی [Bmim][NO<sub>3</sub>] در دماهای ۲۵ (▲)، ۴۰ (■)، ۵۰ (●) و ۶۰ (◆) درجه سلسیوس

در شکل ۶ مقدار تغییرهای ثابت هنری (در فشار صفر و نسبت به مولالیته) بر حسب دما نشان داده شده است. همان‌گونه که مشاهده می‌شود با افزایش دما ثابت‌های هنری افزایش و مقدار حلالیت CO<sub>2</sub> کاهش می‌یابد.

[Omim][NO<sub>3</sub>] است که دلیل آن این است که فرایند جذب تحت تاثیر توانان نوع آنیون و طول زنجیر جانبی در دو مایع یونی است. در این رقابت تاثیر طول زنجیر بیشتر بود. با توجه به ثابت‌های هنری مندرج در جدول ۵ ترتیب‌بندی مایع‌های یونی به ترتیب کاهش ظرفیت جذب به شرح زیر است:



شکل ۷ مقایسه اطلاعات تجربی برای جذب  $\text{CO}_2$  در مایع‌های یونی در دمای ۴۰ درجه سلسیوس:  $[\text{Bmim}][\text{NO}_3]$  (آبی)،  $[\text{Bzmim}][\text{NTf}_2]$  (زرد)،  $[\text{Bmim}][\text{NO}_3]$  (سبز)،  $[\text{Bzmim}][\text{NTf}_2]$  (پُرس)،  $[\text{Bmim}][\text{PF}_6]$  (زرد)،  $[\text{Hmim}][\text{NO}_3]$  (برگ).

افزایش ظرفیت جذب بهدلیل افزایش تعداد گروه فلور در ساختار  $[\text{NTf}_2]$  است.

جدول ۵ ثابت‌های هنری گاز  $\text{CO}_2$  در مایع‌های یونی متفاوت در دمای ۴۰ درجه سلسیوس

مراجع	ثابت هنری (MPa)	مایع یونی
[۲۰]	۱.۶۱	$[\text{Bmim}][\text{BF}_4]$ (بوتیل-۳-متیل ایمیدا زولیم تترافلوئورو بورات)
[۱۵]	۱.۸۲	$[\text{Omim}][\text{NO}_3]$ (اکتیل-۳-متیل ایمیدا زولیم نیترات)
[۲۰]	۱.۸۷	$[\text{Bmim}][\text{PF}_6]$ (بوتیل-۳-متیل ایمیدا زولیم هگزا فلورو فسفات)
[۱۴]	۲.۰۱	$[\text{Hmim}][\text{NO}_3]$ (هگزیل-۳-متیل ایمیدا زولیم نیترات)
[۲۱]	۲.۱۴	$[\text{Bzmim}][\text{NTf}_2]$ (بنزیل-۳-متیل ایمیدا زولیم پیس (تری فلورومتیل سولفونیل ایمید))
این پژوهش	۲.۰۸	$[\text{Bmim}][\text{NO}_3]$

### نتیجه‌گیری

در این پژوهش حالیت گاز  $\text{CO}_2$  در مایع یونی  $[\text{Bmim}][\text{NO}_3]$  در یک واکنشگاه منقطع بررسی شد. داده‌ها بیانگر این بودند که همانند بیشتر مایع‌های یونی با افزایش فشار و کاهش دما ظرفیت جذب افزایش می‌یابد. با بدست-آوردن مولالیته و فوگاسیته گاز در مایع یونی و ترسیم تغییرهای  $f_{\text{CO}_2}/m_{\text{CO}_2}$  بر حسب فشار گاز بالای فاز مایع یونی، ثابت‌های هنری  $K^{\circ}_{\text{H},\text{CO}_2}$  به دست آمدند که برای مقایسه قدرت حالیت یک گاز در مایع‌های یونی متفاوت استفاده می‌شوند. نتیجه‌های جذب گاز در مایع یونی  $[\text{Bmim}][\text{NO}_3]$  نشان داد این مایع یونی، ظرفیت جذب پایین‌تری نسبت به مایع‌های یونی دارای آنیون‌های فلوردار مانند  $[\text{PF}_6]^-$ ،  $[\text{BF}_4]^-$  و

در جدول ۵ مشاهده می‌شود مایع یونی  $[\text{Bzmim}][\text{NTf}_2]$  با وجود داشتن آنیون  $[\text{NTf}_2]^-$ ، دارای جذب کمتری نسبت به دیگر مایع‌های یونی مندرج در جدول ۵ است که این بهدلیل مزاحمت حلقه آروماتیک بنزیلی در فرایند جذب است. در مایع‌های یونی با بخش کاتیونی و آنیونی مشابه هرچه طول زنجیر جانبی بیشتر باشد ظرفیت جذب گاز آن بیشتر است. برای مثال، در جدول ۵ و شکل ۷ مشاهده می‌شود در مایع‌های یونی سری ۱-آلکیل-۳-متیل ایمیدا زولیم نیترات، ظرفیت جذب  $\text{CO}_2$  زمانی که گروه آلکیل اکتیل باشد بیشتر از گروه هگزیل است و مایع یونی دارای گروه بوتیل، کمترین ظرفیت جذب را دارد. در جدول ۶ مشاهده می‌شود مایع یونی  $[\text{Bmim}][\text{PF}_6]$  دارای ظرفیت جذب  $\text{CO}_2$  کمتری نسبت به مایع یونی

[Omim][NO<sub>3</sub>] دارد، قدرت آلایندگی کمتری نسبت به آن‌ها دارد. در ضمن، با توجه به ارزانی [Bmim][NO<sub>3</sub>] نسبت به بیشتر مایع‌های یونی، کاربرد آن از دید اقتصادی نیز مناسب است.

[NTf<sub>2</sub>] دارد، ولی [Bmim][NO<sub>3</sub>] زیستدوست‌تر است و بهدلیل طول زنجیر جانبی کوتاه‌تر در بین دیگر مایع‌های یونی نیتراتی با طول زنجیر بلند‌تر مانند [Hmim][NO<sub>3</sub>] و

## مراجع

- [1] Ramdin M, de Loos TW, Vlugt TJ. State-of-the-Art of CO<sub>2</sub> Capture with Ionic Liquids. *Ind Eng Chem Res.* 2012; 51:8149–8177. doi: org/10.1021/ie3003705
- [2] Liu Z, Deng Z, Davis S, Ciais P. Monitoring global carbon emissions in 2022. *Nat Rev Earth Environ.* 2023;4:205–206. doi: org/10.1038/s43017-023-00406-z
- [3] Ramdin M, Olasagasti TZ, Vlugt TJH, de Loos TW. High pressure solubility of CO<sub>2</sub> in non-fluorinated phosphonium-based ionic liquids. *J Supercrit Fluids.* 2013;82:41–49. doi: org/10.1016/j.supflu.2013.06.004
- [4] Janiczek P, Kalb RS, Thonhauser G, Gamse T. Carbon dioxide absorption in a technical-scale-plant utilizing an imidazolium based ionic liquid. *Sep Purif Technol.* 2012; 97:20–25. doi: org/10.1016/j.seppur.2012.03.003
- [5] Taib MM, Murugesan T. Solubilities of CO<sub>2</sub> in aqueous solutions of ionic liquids (ILs) and monoethanolamine (MEA) at pressures from 100 to 1600 kPa. *Chem Eng J.* 2012;181–182:56–62. doi: org/10.1016/j.cej.2011.09.048
- [6] Yuan X, Zhang S, Liu J, Lu X. Solubilities of CO<sub>2</sub> in hydroxyl ammonium ionic liquids at elevated pressures. *Fluid Phase Equilib.* 2007;257(2):195–200. doi: org/10.1016/j.fluid.2007.01.031
- [7] Zhao Z, Dong H, Zhang X. The research progress of CO<sub>2</sub> capture with ionic liquids. *Chin J Chem Eng.* 2012;20(1):120–9. doi: org/10.1016/S1004-9541(12)60371-1
- [8] Shiflett MB, Drew DW, Cantini RA, Yokozeiki A. Carbon dioxide capture using ionic liquid 1-butyl-3-methylimidazolium acetate. *Energy Fuels.* 2010;24(10):5781–9. doi: org/10.1021/ef100868a
- [9] Safavi M, Ghotbi C, Taghikhani V, Jalili AH, Mehdizadeh A. Study of the solubility of CO<sub>2</sub>, H<sub>2</sub>S and their mixture in the ionic liquid 1-octyl-3-methylimidazolium hexafluorophosphate: Experimental and modelling. *J Chem Thermodyn.* 2013;65:220–32. doi: org/10.1016/j.jct.2013.05.038
- [10] Yunus NM, Mutualib MIA, Man Z, Bustam MA, Murugesan T. Solubility of CO<sub>2</sub> in pyridinium based ionic liquids. *Chem Eng J.* 2012;189–190:94–100. doi: org/10.1016/j.cej.2012.02.033
- [11] Zhou L, Fan J, Shang X, Wang J. Solubilities of CO<sub>2</sub>, H<sub>2</sub>, N<sub>2</sub> and O<sub>2</sub> in ionic liquid 1-n-butyl-3-methylimidazolium heptafluorobutyrate. *J Chem Thermodyn.* 2013;59:28–34. doi: org/10.1016/j.jct.2012.11.030
- [12] Shin E-K, Lee B-C, Lim JS. High-pressure solubilities of carbon dioxide in ionic liquids: 1-Alkyl-3-methylimidazolium bis(trifluoromethylsulfonyl)imide. *J Supercrit Fluids.* 2008;45(3):282–92. doi: org/10.1016/j.supflu.2008.01.020
- [13] Stevanovic S, Costa Gomes MF. Solubility of carbon dioxide, nitrous oxide, ethane, and nitrogen in 1-butyl-1-methylpyrrolidinium and trihexyl(tetradecyl)phosphonium tris (pentafluoroethyl)trifluorophosphate (eFAP) ionic liquids. *J Chem Thermodyn.* 2013;59:65–71. doi: org/10.1016/j.jct.2012.11.010
- [14] Mirzaei M, Mokhtarani B, Badiei A, Sharifi A. Solubility of carbon dioxide and methane in 1-hexyl-3-methylimidazolium nitrate ionic liquid, experimental and thermodynamic modeling. *J Chem Thermodyn.* 2018;122:31–37. doi: org/10.1016/j.jct.2018.03.003

- [15] Mokhtarani B, Negar Khatun A, Mafi M, Sharifi A, Mirzaei M. Experimental study on the solubility of carbon dioxide in nitrate and thiocyanate-based ionic liquids. *J Chem Eng Data.* 2016;61(3):1262–1269. doi: org/10.1021/acs.jced.5b00894
- [16] Mirzaei M, Sharifi A, Abaee MS. Experimental study on solubility of CO<sub>2</sub> and CH<sub>4</sub> in the ionic liquid 1-benzyl-3-methylimidazolium nitrate. *J Supercrit Fluids.* 2023;199:105963. doi: org/10.1016/j.supflu.2023.105963
- [17] Dupont J, Consorti CS, Suarez PAZ, de Sousa RF. Preparation of 1-butyl-3-methyl imidazolium-based room temperature ionic liquids. *Org Synth.* 2002;79:236. doi: org/10.15227/orgsyn.079.0236
- [18] Cammarata L, Kazarian SG, Salter PA, Welton T. Molecular states of water in room temperature ionic liquids. *Phys Chem Chem Phys.* 2001;3(23):5192–5200. doi: org/10.1039/B106900D
- [19] Span R, Wagner W. A new equation of state for carbon dioxide covering the fluid region from the triple-point temperature to 1100 K at pressures up to 800 MPa. *J Phys Chem Ref Data.* 1996;25(6):1509–96. doi: org/10.1063/1.555991
- [20] Kumelan J, Pérez-Salado Kamps Á, Tuma D, Maurer G. Solubility of CO<sub>2</sub> in the ionic liquid [hmim][Tf<sub>2</sub>N]. *J Chem Thermodyn.* 2006;38(11):1396–401. doi: org/10.1016/j.jct.2006.01.013
- [21] Jalili AH, Mehdizadeh A, Ahmadi AN, Zoghi AT, Shokouhi M. Solubility behavior of CO<sub>2</sub> and H<sub>2</sub>S in 1-benzyl-3-methylimidazolium bis(trifluoromethylsulfonyl)imide ionic liquid. *J Chem Thermodyn.* 2022; 167 :106 721. doi: org/10.1016/j.jct.2021.106721
- [22] Aki SNVK, Mellein BR, Saurer EM, Brennecke JF. High-pressure phase behavior of carbon dioxide with imidazolium-based ionic liquids. *J Phys Chem B.* 2004 ;108(52):20355–65. doi: org/10.1021/jp046895+
- [23] Blanchard LA, Gu Z, Brennecke JF. High-pressure phase behavior of ionic liquid/CO<sub>2</sub> systems. *J Phys Chem B.* 2001 ;105(12):2437–44a. doi: org/10.1021/jp003309d

**Solubility of carbon dioxide in 1-butyl-3-methylimidazolium nitrate ionic liquid at high pressure****M. Mirzaei<sup>1\*</sup>, F. Azimi<sup>2</sup>, B. Mokhtarani<sup>3</sup>, A. Sharifi<sup>4</sup>**

1. Assistant Prof. of Applied Chemistry, Department of New Technologies, Chemistry and Chemical Engineering Research Center of Iran, Tehran, Iran.

2. M.Sc. Student in Chemical Engineering, Department of Petroleum Engineering, Chemistry and Chemical Engineering Research Center of Iran, Tehran, Iran.

3. Professor of Chemical Engineering, Department of Petroleum Engineering, Chemistry and Chemical Engineering Research Center of Iran, Tehran, Iran.

4. Associate Prof. of Organic Chemistry, Department of New Technologies, Chemistry and Chemical Engineering Research Center of Iran, Tehran, Iran.

**Abstract**

The experimental data of CO<sub>2</sub> solubility in the ionic liquid 1-butyl-3-methylimidazolium nitrate [Bmim][NO<sub>3</sub>] were obtained in the temperature range of 25-60 °C and the pressure up to 4.6 MPa. The adsorption process was studied in a double-walled stainless steel batch reactor with the operational capability of bearing pressure up to 10 MPa, which was equipped with a mechanical stirrer, pressure and temperature sensors. By starting the CO<sub>2</sub> adsorption process, the pressure inside the reactor began to drop, and the equilibrium point was when there was no pressure drop within 15 minutes. The findings showed that the solubility of CO<sub>2</sub> in [Bmim][NO<sub>3</sub>] increased with increasing pressure and decreasing temperature. By entering the equilibrium points obtained from the experiments in the Span-Wagner equation of state, the molar volume ( $V_m$ ) and fugacity ( $f_{CO_2}$ ) were obtained, which were finally used to obtain the Henry's law constants at zero pressure of CO<sub>2</sub> ( $K^o_{H,CO_2}$ ) in the ionic liquid [Bmim][NO<sub>3</sub>].

**Keywords:** Carbon dioxide adsorption, Imidazolium-based ionic liquid, Henry's law constant.